

сообщения  
объединенного  
института  
ядерных  
исследований  
дубна

P11-85-764

Е.П.Жидков, Ю.Ю.Лобанов, О.В.Сидорова

ПРИБЛИЖЕННОЕ ИНТЕГРИРОВАНИЕ  
ПО УСЛОВНОЙ МЕРЕ ВИНЕРА  
В ЗАДАЧАХ КВАНТОВОЙ МЕХАНИКИ  
Гармонический осциллятор

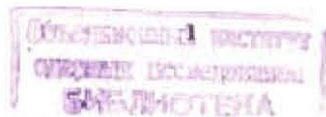
1985

## Введение

Метод континуального интегрирования, впервые примененный в квантовой механике Р. Фейнманом <sup>/1/</sup>, широко используется в квантовой физике в настоящее время <sup>/2,3/</sup>. Этот метод послужил основой для создания калибровочной теории на решетке ( см., напр., <sup>/4,5/</sup>), развившаяся большим прогрессом в современной теории поля. В последнее время, однако, некоторые авторы ( см. <sup>/6/</sup>) вычисляют континуальные интегралы с помощью методов, не требующих введения пространственно-временной решетки. Теория на решетке ( см. <sup>/7/</sup>) приводит к необходимости вычисления интегралов большой ( $\geq 10^3$ ) кратности, что требует использования мощных ЭЦМ с большой оперативной памятью и высоким быстродействием. Кроме того, как отмечается в <sup>/6/</sup>, серьезные проблемы возникают при введении решетки в теории гравитации. В <sup>/6/</sup> развивается метод вычисления Фейнмановских интегралов, основанный на аппроксимации аргумента подинтегрального функционала ( т.е. траектории ) частичной суммой функционального ряда. Работа <sup>/6/</sup> посвящена применению метода для решения некоторых задач квантовой механики.

Построение квантовой механики на основе аппарата континуального интегрирования изложено в работе <sup>/8/</sup>. Обзор существующих методов вычисления интегралов Фейнмана содержится в <sup>/9/</sup>.

Один из способов приближенного вычисления Фейнмановских интегралов в евклидовой формулировке теории без введения решетки основан на представлении этих интегралов по траекториям в виде континуальных интегралов по условной мере Винера <sup>/10-12/</sup> с помощью формулы Фейнмана-Каца <sup>/13/</sup>. Обзор существующих методов приближенного вычисления континуальных интегралов и вопросы теории содержатся в <sup>/12,14,15/</sup>. Применение интегрирования по гауссовой мере в квантовой физике рассмотрено в работе <sup>/16/</sup>. В ней, в частности, обосновывается построение гауссовой меры в континуальном интеграле для  $P(\varphi)_2$  - модели. В последнее время вопросы строгого построения меры в континуальных интегралах квантовой физики вызывают большой интерес у многих авторов. В работах <sup>/17/</sup> осуществляется построение винеровской меры в континуальных интегралах квантовой механики ( без перехода к евклидовой метрике ).



В настоящей работе для вычисления интегралов Фейнмана используются построенные нами в [18-20] приближенные формулы для континуальных интегралов по условной мере Винера, точные на классе функциональных многочленов заданной степени. Мы сравниваем полученные нами результаты решения конкретных задач квантовой механики с известными точными решениями и с аналогичными результатами работы [6], а также с результатами, полученными в [21,22] путем расчетов на решетке.

Работа [21] посвящена применению метода Монте-Карло на одномерной решетке к решению некоторых квантовомеханических задач. В [22] проблема исследуется более подробно и рассматривается применение метода к анализу систем со многими степенями свободы. Для уменьшения погрешности, связанной с конечностью шага решетки  $\alpha$ , в [22] предложено аппроксимировать траекторию на отрезках  $[t_n, t_{n+1}]$  ( $t_n = \alpha \cdot k$ ;

$k=0,1,\dots,N; t_N=T$ ) непрерывной линией, заменяя разность значений потенциала в узлах решетки  $\alpha[V(x_{n+1})-V(x_n)]$  интегралом  $\int_{t_n}^{t_{n+1}} \dot{V}(x(t)) dt$ ,

вычисленным аналитически для простых систем. Это позволяло авторам получить более точный результат при  $\alpha \approx 0,5$ . В нашем подходе траектория считается непрерывной функцией на всем отрезке  $[0, T]$ . Так же, как в [6,21,22], в качестве объектов исследования для удобства сравнения нами выбраны такие хорошо изученные квантовомеханические системы, как гармонический осциллятор с гамильтонианом  $H_0 = \frac{1}{2}(p^2 + X^2)$

и ангармонический осциллятор с гамильтонианом  $H_g = H_0 + gX^4$  и  $H_f = H_0 + \frac{1}{2}(X^2 - p^2)^2$ . Ангармонический осциллятор привлекает к себе внимание многих авторов благодаря тому, что его можно рассматривать как 1-мерный случай  $g\varphi^4$ -теории поля.

Так же, как в [6] и в [21,22], в настоящей работе вычисляются энергии  $E_0, E_1$  основного и первого возбужденного состояния системы, пропагатор  $G(\tau) = \langle 0 | x(0)x(\tau) | 0 \rangle$  и квадрат волновой функции основного состояния  $|\psi_0(x)|^2$ . Приведенное сравнение численных результатов показывает, что используемый нами подход к вычислению интегралов Фейнмана с применением формул [18-20] является более эффективным, чем способ [6,21,22], поскольку он приводит к вычислению интегралов малой кратности (при такой же или более высокой точности результатов) и, соответственно, требует меньшего счетного времени и памяти ЭМ. Для нахождения этих интегралов мы использовали детерминированные методы, в частности, квадратурные формулы Гаусса и Чебышева.

В данной работе мы приводим основные соотношения и приближенные формулы для континуальных интегралов и демонстрируем использование метода на примере гармонического осциллятора. Результаты расчетов для ангармонического осциллятора приводятся в следующей работе.

## § I. Основные соотношения

Рассмотрим квантовомеханическую систему, состоящую из бесспиновой частицы с массой  $M=1$ , совершающей одномерное движение во внешнем поле с потенциалом  $V(x)$ . В евклидовой формулировке матричные элементы оператора эволюции (в случае  $\hbar=1$ )

$$Z(x_i, x_f, T) = \langle x_f | e^{-HT} | x_i \rangle,$$

где  $H$  - гамильтониан системы [23]

$$H = \frac{1}{2} p^2 + V = -\frac{1}{2} \frac{\partial^2}{\partial X^2} + V,$$

могут быть записаны в виде континуального интеграла по условной мере Винера [8,13]:

$$Z(x_i, x_f, T) = \int_{C_{0,x_i,T,x_f}} \exp\left\{-\int_0^T V(x(t)) dt\right\} d_w x. \quad (1)$$

Интегрирование в (1) производится по пространству непрерывных на  $[0, T]$  функций, удовлетворяющих условиям

$$x(0) = x_i,$$

$$x(T) = x_f.$$

Уже здесь проявляется отличие от наиболее широко используемого сейчас подхода к Фейнмановским интегралам (принятого также в [6,21,22]), а именно, в (1) в показателе экспоненты стоит не действительное, а только интеграл от потенциала системы, т.е. отсутствует кинетическая часть. Мы предполагаем, что  $H$  имеет чисто дискретный спектр ( $V(x) \rightarrow \infty$  при  $|x| \rightarrow \infty$ ). В этом случае

$$H\varphi_n(x) = E_n \varphi_n(x),$$

$$Z(x_i, x_f, T) = \sum_n e^{-E_n T} \varphi_n(x_i) \varphi_n(x_f). \quad (2)$$

Энергия основного состояния системы может быть, следовательно, вычислена как

$$E_0 = \lim_{T \rightarrow \infty} \frac{1}{T} \ln Z(T), \quad (3)$$

где

$$f(T) = -\frac{1}{T} \ln Z(T). \quad (4)$$

$$Z(T) = \sum_n e^{-E_n T} = \int_{-\infty}^{\infty} Z(x, x, T) dx. \quad (5)$$

Мы можем определить корреляционную функцию

$$\Gamma(\tau) = \langle x(0), x(\tau) \rangle = \frac{\int_{-\infty}^{\infty} dX \exp\left\{-\int_0^T V[u(t)] dt\right\} u(0) u(\tau) d_w u}{\int_{-\infty}^{\infty} dX \exp\left\{-\int_0^T V[u(t)] dt\right\} d_w u} \quad (6)$$

В пределе  $T \rightarrow \infty$  получаем ( см. напр. /21/)

$$\lim_{T \rightarrow \infty} \Gamma(\tau) = G(\tau) = \langle 0 | x(0) x(\tau) | 0 \rangle = \sum_{n \neq 0} e^{-(E_n - E_0)\tau} |\langle 0 | x | n \rangle|^2 \quad (7)$$

Как нетрудно видеть, отсюда может быть получена разность энергий основного и первого возбужденного состояний:

$$\Delta E = E_1 - E_0 = \lim_{\tau \rightarrow \infty} \frac{d}{d\tau} \ln G(\tau). \quad (8)$$

Воспользовавшись теоремой вириала /24/ для преобразования кинетической части гамильтониана

$$\frac{1}{2m} \langle p^2 \rangle = \frac{1}{2} \langle X V'(X) \rangle,$$

мы можем вычислить значение  $E_0$  также следующим образом:

$$E_0 = \langle 0 | H | 0 \rangle = \lim_{T \rightarrow \infty} \frac{\int_{-\infty}^{\infty} dX \exp\left\{-\int_0^T V[u(t)] dt\right\} \left[\frac{1}{2} X V'(X) + V(X)\right] d_w u}{\int_{-\infty}^{\infty} dX \exp\left\{-\int_0^T V[u(t)] dt\right\} d_w u} \quad (9)$$

Далее, из (2) получаем, что квадрат собственной функции гамильтониана, соответствующей основному состоянию системы, может быть найден следующим образом:

$$|\varphi_0(x)|^2 = \lim_{T \rightarrow \infty} [e^{E_0 T} Z(x, x, T)]. \quad (10)$$

Таким образом, для определения интересующих нас величин ( $E_0$ ,  $\Delta E$ ,  $G(\tau)$ ,  $|\varphi_0(x)|^2$ ) мы должны вычислить континуальный интеграл (I) с периодическими граничными условиями  $x_i = x_f = X$ :

$$\tilde{Z}(X, T) = Z(X, X, T), \quad (11)$$

а также континуальные интегралы (6) и (9). Рассмотрению используемого нами метода вычисления этих интегралов посвящен следующий параграф.

## § 2. Приближенные формулы для вычисления континуальных интегралов

В работе /18/ нами были получены составные приближенные формулы произвольного порядка точности для континуальных интегралов по гауссовой мере. Рассматривая условную меру Винера как частный случай гауссовых мер /12/, мы получаем следующую приближенную формулу для интегралов от функционала  $F$  по пространству функций  $x(t) \in C[0, 1]$ ,  $x(0) = x(1) = 0$ :

$$\int_{C_{0,0,1,0}} F[x] d_w x \approx (2\pi)^{-\frac{n}{2}} \int_{R^n} \exp\left(-\frac{1}{2} \sum_{k=1}^n u_k^2\right) \cdot \frac{1}{2^m} \int_{-1}^1 \int_{-1}^1 F[\rho^{(m)}(v, t) - \rho_n^{(m)}(v, t) + \Psi_n(u, t)] dv du, \quad (12)$$

где

$$\rho^{(m)}(v, t) = \sum_{i=1}^m c_i^{(m)} \rho(v_i, t); \quad \rho(w, t) = \begin{cases} -t \operatorname{sign} w, & t \leq |w|, \\ (1-t) \operatorname{sign} w, & t > |w|, \end{cases}$$

$$\rho_n^{(m)}(v, t) = 2 \sum_{k=1}^n \frac{1}{k\pi} \sin k\pi t \sum_{i=1}^m c_i^{(m)} \operatorname{sign} v_i \cos k\pi v_i;$$

$$\Psi_n(u, t) = \sqrt{2} \sum_{k=1}^n \frac{1}{k\pi} u_k \sin k\pi t;$$

$[c_k^{(m)}]^2$  - корни многочлена  $Q_m(t) = \sum_{k=0}^m (-1)^k \frac{t^{m-k}}{k!}$ .

Приближенная формула (12) является точной, когда  $F[x]$  представляет собой функциональный многочлен степени  $\leq 2m+1$ . Вопросы сходимости и оценки остатка формулы исследованы в /18/.

Отметим, что в левой части (12) стоит интеграл по нормированной условной мере Винера  $d_w x$ , удовлетворяющей

$$\int_{C_{0,0,T,X}} d_w x = 1.$$

Переход к нормированной мере осуществляется с помощью соотношения

$$d_w x = \frac{1}{\sqrt{2\pi T}} e^{-\frac{x^2}{2T}} d_w x.$$

В работах /19, 20/ для континуальных интегралов по нормированной условной мере Винера построены и исследованы приближенные формулы с весом:

$$\int_{C_{0,0,1,0}} \exp\left\{\int_0^t [\lambda p(\tau)x^2(\tau) + g(\tau)x(\tau)] d\tau\right\} F[x] d_{w^*}x \approx$$

$$\approx \exp\left[-\frac{\lambda}{2} \int_0^1 (1-s)K(s)ds\right] \exp\left\{\frac{\lambda}{2} \int_0^1 x_0^2(\tau)d\tau\right\} \times$$

$$\times \int_{-1}^1 \dots \int_{-1}^1 F[\tilde{\theta}_m(u_i, \cdot) + a(\cdot)] du_1 \dots du_m, \quad (13)$$

где  $\lambda$  - вещественный параметр;  $p(\tau), g(\tau)$  - заданные функции из  $C[0,1]$ ;  $K(s)$  - решение дифференциального уравнения:

$$(1-s)K'(s) - (1-s)^2 K^2(s) - 3K(s) - 2\lambda p(s) = 0; \quad s \in [0,1],$$

$$K(1) = -\frac{2\lambda}{3};$$

$$x_0(t) = \int_0^t [K(s)v(s)B(s) - g(s)] ds + C, \quad \int_0^1 x_0(s) ds = 0,$$

$$B(t) = \int_t^1 g(s) \cdot \frac{1-s}{v(s)} ds;$$

$$a(t) = \int_0^t x_0(s) ds - \frac{t-t}{v(t)} \int_0^t K(s)v(s) \left[ \int_0^s x_0(u) du \right] ds;$$

$$\tilde{\theta}_m(u_i, t) = \sum_{k=1}^m c_k^{(m)} \tilde{\theta}(u_k, t); \quad \tilde{\theta}(w, t) = f(w, t) - \tilde{\rho}(w, t),$$

$$\tilde{\rho}(w, t) = \begin{cases} \text{sign } w, & t \leq |w|, \\ 0, & t > |w|, \end{cases}$$

$$f(w, t) = \text{sign } w \cdot \frac{1-t}{v(t)} \left[ 1 + \int_0^{\min\{|w|, t\}} K(s)v(s) ds \right];$$

$C_k^{(m)}$  имеет то же значение, что и в формуле (12). Формула (13) также точна для  $F[x]$  - функциональных многочленов степени  $\leq 2m+1$ .

В случае  $\lambda p(t) = -c_2 = \text{const}; g(t) = -c_1 = \text{const}$  (13) приобретает вид /20/:

$$\int_{C_{0,0,1,0}} \exp\left\{-\int_0^t [c_2 x^2(\tau) + c_1 x(\tau)] d\tau\right\} F[x] d_{w^*}x \approx$$

$$\approx \sqrt{\frac{\sqrt{2c_2}}{\text{sh}\sqrt{2c_2}}} \cdot \exp\left\{\frac{-c_1^2}{2c_2\sqrt{2c_2}} \left[ \text{th}\sqrt{\frac{c_2}{2}} - \sqrt{\frac{c_2}{2}} \right]\right\} \times$$

$$\times \int_{-1}^1 \dots \int_{-1}^1 F[\tilde{\theta}_m(u_i, \cdot) + a(\cdot)] du_1 \dots du_m, \quad (14)$$

где

$$-\frac{c_1^2}{2} < c_2 < \infty;$$

$$a(t) = \frac{-c_1}{c_2 \text{ch}\sqrt{\frac{c_2}{2}}} \cdot \text{sh}\sqrt{\frac{c_2}{2}} t \cdot \text{sh}\sqrt{\frac{c_2}{2}} (1-t);$$

$$K(s) = \frac{1}{1-s} \left[ \sqrt{2c_2} \text{cth}\sqrt{2c_2}(1-s) - \frac{1}{1-s} \right]; \quad v(s) = \frac{(1-s)\text{sh}\sqrt{2c_2}}{\text{sh}\sqrt{2c_2}(1-s)}.$$

Наряду с формулами (12)-(14) мы будем также пользоваться "элементарной" формулой /12/:

$$\int_{C_{0,0,1,0}} F[x] d_{w^*}x \approx \int_{-1}^1 \dots \int_{-1}^1 F[\rho^{(m)}(v_i, \cdot)] dv_1 \dots dv_m, \quad (15)$$

точной для функциональных многочленов степени  $\leq 2m+1$ .

Для вычисления величин (1), (6), (9) с помощью приведенных выше формул необходимо интегралы по пространству функций  $u(t) \in C_{0,0,1,0}^m = \{C[0,T]; u(0)=X, u(T)=X\}$  преобразовать к интегралам по пространству  $C_{0,0,1,0}$ . Продемонстрируем это на примере  $\tilde{Z}(X, T)$ . Известно /11, 13/ что  $\tilde{Z}(X_0, X, t)$  является решением задачи

$$\frac{\partial \tilde{Z}}{\partial t} = \frac{1}{2} \frac{\partial^2 \tilde{Z}}{\partial X^2} - V(X) \tilde{Z}, \quad X \in (-\infty, \infty);$$

$$\tilde{Z}(X_0, X, 0) = \delta(X - X_0), \quad t \in [0, T];$$

$$\tilde{Z}(X_0, X, t) \xrightarrow{|X| \rightarrow \infty} 0.$$

$\tilde{Z}(X_0, T) = \tilde{Z}(X_0, X_0, T)$  - значение этого решения в точке  $X=X_0, t=T>0$ .

Сделаем замену переменных

$$t = T \cdot t',$$

$$X = \sqrt{T} X', \quad (16)$$

и введя обозначения

$$Q(X'_0, X', t') = \sqrt{T} \cdot \tilde{Z}(\sqrt{T} X'_0, \sqrt{T} X', T t'),$$

$$\tilde{V}(X') = T \cdot V(\sqrt{T} X'),$$

где  $X'_0 = \frac{1}{\sqrt{T}} X_0$ , получаем, что  $Q(X'_0, X', t')$  удовлетворяет

$$\frac{\partial Q}{\partial t'} = \frac{1}{2} \frac{\partial^2 Q}{\partial X'^2} - \tilde{V}(X') Q; \quad X' \in (-\infty, \infty), t' \in [0, 1];$$

$$Q(X'_0, X', 0) = \delta(X'_0 - X');$$

$$Q(X'_0, X', t') \xrightarrow{|X'| \rightarrow \infty} 0.$$

Таким образом,

$$\begin{aligned} \tilde{Z}(X_0, T) &= \frac{1}{\sqrt{T}} Q\left(\frac{X_0}{\sqrt{T}}, \frac{X_0}{\sqrt{T}}, 1\right) = \\ &= \frac{1}{\sqrt{T}} \int_{C_{0,0,1,0}} \exp\left\{-\int_0^1 \tilde{V}[u(t')] dt'\right\} d_w u = \frac{1}{\sqrt{T}} \int_{C_{0,0,1,0}} \exp\left\{-\int_0^1 \tilde{V}[u(t')] + \frac{X_0}{\sqrt{T}} dt'\right\} d_w u. \end{aligned}$$

Переходя к нормированной условной мере Винера, получаем

$$\tilde{Z}(X_0, T) = \frac{1}{\sqrt{2\pi T}} \int_{C_{0,0,1,0}} \exp\left\{-T \int_0^1 V[\sqrt{T}u(t') + X_0] dt'\right\} d_w u. \quad (17)$$

После замены переменных (16) в континуальных интегралах (6) и (9) эти соотношения приобретают вид

$$\begin{aligned} \Gamma(\tau) &= \langle X(\tau) X(\tau) \rangle = \\ &= \frac{\frac{1}{\sqrt{2\pi T}} \int_{-\infty}^{\infty} X dX \int_{C_{0,0,1,0}} \exp\left\{-T \int_0^1 V[\sqrt{T}u(t) + X] dt\right\} [\sqrt{T}u\left(\frac{\tau}{T}\right) + X] d_w u}{\int_{-\infty}^{\infty} \tilde{Z}(X, T) dX}, \end{aligned} \quad (18)$$

$$E_0 = \langle 0 | H | 0 \rangle = \quad (19)$$

$$= \lim_{T \rightarrow \infty} \frac{1}{\int_{-\infty}^{\infty} \tilde{Z}(X, T) dX} \cdot \frac{1}{\sqrt{2\pi T}} \int_{-\infty}^{\infty} dX \int_{C_{0,0,1,0}} \exp\left\{-T \int_0^1 V[\sqrt{T}u(t) + X] dt\right\} \left[\frac{1}{2} X V(X) + V(X)\right] d_w u.$$

Формулы (17)–(19) являются основой для последующих численных расчетов.

### 3. Квантовый осциллятор

Рассмотрим теперь одномерную квантовомеханическую систему с потенциалом

$$V(X) = \frac{1}{2} X^2, \quad X \in (-\infty, \infty). \quad (20)$$

Хорошо известно [23], что такая система обладает дискретным энергетическим спектром

$$E_n = n + \frac{1}{2}. \quad (21)$$

Квадрат волновой функции основного состояния

$$|\varphi_0(X)|^2 = \frac{1}{\sqrt{\pi}} e^{-X^2}. \quad (22)$$

С помощью метода континуального интегрирования величина  $E_0$  определяется следующим образом: подставляя (20) в соотношение (9) или (19), получаем, что

$$E_0 = \lim_{T \rightarrow \infty} \frac{\int_{-\infty}^{\infty} X^2 \tilde{Z}(X, T) dX}{\int_{-\infty}^{\infty} \tilde{Z}(X, T) dX} = \langle 0 | X^2 | 0 \rangle = G(0). \quad (23)$$

В работе [21] значение  $E_0$  вычислялось на решетке с числом узлов  $N=51$  и шагом решетки  $a=0,5$ . При точном нахождении  $N$ -кратного интеграла результат составил

$$E_0^{(N)} = 0,447,$$

что следует сравнивать с теоретическим значением

$$E_0 = 0,5. \quad (24)$$

При вычислении интеграла путем моделирования  $N_E=100$  решеточных конфигураций в работе [21] получено

$$E_0^{(N, N_E)} = 0,45.$$

В работе [6] при нахождении ( $N=4$ )-кратного интеграла с помощью  $N_R=100$  моделирований 10000 траекторий получено

$$E_0^{(N, N_R)} = 0,4932 \pm 0,145.$$

Вычисление потребовало 19х100 с счетного времени на ЭВМ Vax 780. При  $N=10, N_R=100$  результат составил

$$E_0^{(N, N_R)} = 0,4979 \pm 0,051.$$

Счетное время, затраченное на вычисление, равнялось 67х100 с.

При интегрировании по условной мере Винера из (17) с учетом (20) получаем

$$\tilde{Z}(X, T) = \frac{1}{\sqrt{2\pi T}} e^{-\frac{T}{2} X^2} \int_{C_{0,0,1,0}} \exp\left\{-\frac{T}{2} \int_0^1 [u^2(t) + 2X\sqrt{T}u(t)] dt\right\} d_w u. \quad (25)$$

Нетрудно видеть, что с помощью формулы с весом мы легко получаем для  $\tilde{Z}(X, T)$  точный ответ. В самом деле, подставляя в (14)

$$\begin{aligned} C_1 &= +X\sqrt{T}; \\ C_2 &= +\frac{T^2}{2}; \\ F[X] &\equiv 1, \end{aligned} \quad (26)$$

мы имеем

$$\tilde{Z}(X, T) = \frac{1}{\sqrt{2\pi shT}} \cdot \exp\left\{-th \frac{T}{2} X^2\right\}. \quad (27)$$

Таким образом, мы можем найти точно значение  $E_0^{(n)}$  энергии основного состояния при любом фиксированном  $T$ . В соответствии с (23)

$$E_0^{(n)} = \frac{\int_{-\infty}^{\infty} X^2 \tilde{Z}(X, T) dX}{\int_{-\infty}^{\infty} \tilde{Z}(X, T) dX}. \quad (28)$$

Подставляя сюда (27), получаем

$$E_0^{(n)} = \frac{1}{2} cth \frac{T}{2}. \quad (29)$$

Очевидно, что  $E_0^{(n)} \xrightarrow{T \rightarrow \infty} 0,5$ .

Найдем теперь согласно (28) величину  $E_0^{(n)}$  путем вычисления интеграла (25) с помощью составной приближенной формулы. Подставляя в (12)

$$F(u) = \exp\left\{-\int_0^1 [c_2 u^2(t) + c_1 u(t)] dt\right\},$$

$c_1$  и  $c_2$  из (26), после некоторых преобразований мы получаем для случая  $m=1$

$$\begin{aligned} \tilde{Z}(X, T) &\approx \tilde{Z}^{(n)}(X, T) = \frac{1}{\sqrt{2\pi T}} \cdot e^{-\frac{T}{2} X^2} \cdot I_0 \cdot \prod_{k=1}^n I_{k,1}; \\ I_0 &= \int_0^1 \exp\left\{\frac{1}{2} \left[2 \sum_{k=1}^n \frac{1}{k^2 \pi^2} \cos^2 k\pi v - v^2 + v - \frac{1}{2}\right]\right\} \times \\ &\times ch\left\{XT\sqrt{T} \left[-\frac{1}{2} + v - 2 \sum_{k=1}^n \frac{1}{k^2 \pi^2} \cos k\pi v \cdot (\cos k\pi - 1)\right]\right\} dv; \\ I_k &= \frac{1}{\sqrt{1 + \frac{T^2}{k^2 \pi^2}}} \cdot \exp\left\{\frac{X^2 T^3 (\cos k\pi - 1)}{k^4 \pi^4 (1 + \frac{T^2}{k^2 \pi^2})}\right\}. \end{aligned} \quad (30)$$

Результаты точного вычисления  $E_0^{(n)}$  согласно (29) и приближенного вычисления  $E_0^{(n)} \approx E_0^{(r,n)}$  по формулам (28), (30) на ЭВМ СДС-6500 представлены в табл. 1. Кратность интегралов, необходимых для вычисления  $E_0^{(r,n)}$  с помощью (12) при  $m=1$ , составляет  $N=n+2$ . Приближенное вычисление интеграла по  $v$  в (30) и по  $X$  в (28) осуществлялось с

относительной погрешностью до  $10^{-4}$ . Из табл. 1 следует, что хорошие приближения  $E_0^{(r,n)}$  к точному результату (24) достигаются уже при сравнительно небольших  $T$  и  $n$ .

Рассмотрим теперь нахождение квадрата волновой функции основного состояния. В работе [21] величина  $|\varphi_0(X)|^2$  вычислялась на решетке с числом узлов  $N=1000$  и шагом  $a=1$ . Точный результат на такой решетке составил

$$|\varphi_0^{(n)}(X)|^2 = 0,59 \cdot e^{-1,1X^2} = 1,05 \frac{1}{\sqrt{\pi}} \cdot e^{-1,1X^2}, \quad (31)$$

что следует сравнивать со значением (22). Приближенно функцию  $|\varphi_0^{(n)}(X)|^2$  вычисляли в [21] путем усреднения по 300 монте-карловским итерациям. Мы определяем величину  $|\varphi_0(X)|^2$  в соответствии с формулой (10). При точном нахождении континуального интеграла  $\tilde{Z}(X, T)$  по формуле с весом (14), т.е. на основе выражений (27) и (29), мы получаем при конечном  $T$

$$|\varphi_0(X)|^2 = e^{E_0^{(n)} T} \tilde{Z}(X, T) = \frac{e^{\frac{T}{2} cth \frac{T}{2}}}{\sqrt{2 shT}} \cdot \frac{1}{\sqrt{\pi}} \cdot e^{-th \frac{T}{2} X^2}. \quad (32)$$

Очевидно, что при  $T \rightarrow \infty$   $|\varphi_0^{(n)}(X)|^2$  стремится к теоретическому значению

$$|\varphi_0^{(n)}(X)|^2 \xrightarrow{T \rightarrow \infty} \frac{1}{\sqrt{\pi}} e^{-X^2}.$$

Значения результата (32) при различных  $T$  приведены в табл. 2. Их следует сравнивать с (31).

При вычислении континуального интеграла (25) по формуле (30) мы получаем

$$|\varphi_0^{(r,n)}(X)|^2 = \exp\{E_0^{(r,n)} T\} \tilde{Z}^{(n)}(X, T), \quad (33)$$

где  $E_0^{(r,n)}$  вычисляется согласно (28), (30) при тех же  $T$  и  $n$ , что и  $\tilde{Z}^{(n)}(X, T)$ .

На рис. 1 сплошной линией показано теоретическое значение (22), пунктирной линией - наилучший результат [21] на решетке с  $N=1000$  (31), крестиками - полученный нами согласно (33) результат при  $T=6$ ,  $n=2$ . Интегрирование в (30) осуществлялось с относительной погрешностью до  $10^{-5}$ .

Время вычисления в каждой точке  $X$  составляло  $< 0,1$  с на ЭВМ СДС-6500. К сожалению, счетное время и ЭВМ, на которой производились расчеты, в работе [21] не указаны.

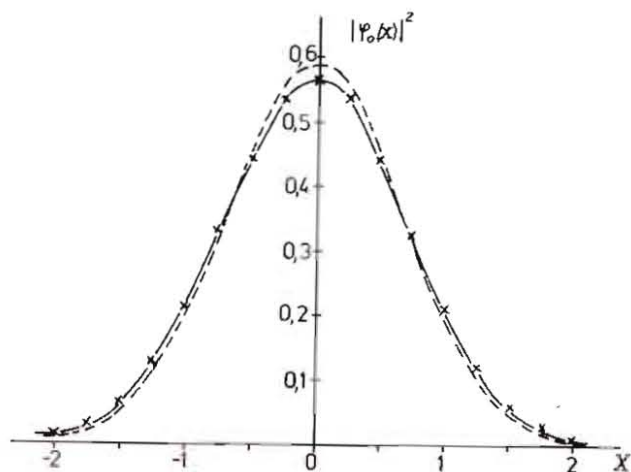


Рис. 1. Квадрат волновой функции основного состояния гармонического осциллятора.

Теперь рассмотрим вычисление величин  $E_0$  и  $|\psi_0(x)|^2$  с помощью формул (3)–(5), (10). При точном нахождении  $\tilde{Z}(X, T)$  подставляя (27) в (5), получаем

$$Z(T) = \int_{-\infty}^{\infty} \tilde{Z}(X, T) dX = \frac{1}{2 \operatorname{sh} \frac{T}{2}} \quad (34)$$

Отсюда в соответствии с (4)

$$E_0^{(n)} = f(T) = \frac{1}{T} \ln(2 \operatorname{sh} \frac{T}{2}). \quad (35)$$

Для  $|\psi_0^{(n)}(x)|^2$  согласно (10) и (4)

$$|\psi_0^{(n)}(x)|^2 = \exp\{E_0^{(n)} T\} \cdot \tilde{Z}(X, T) = \frac{\tilde{Z}(X, T)}{Z(T)}. \quad (36)$$

Подставляя (34) и (25) в (36), получаем

$$|\psi_0^{(n)}(x)|^2 = \sqrt{\frac{T}{2}} \cdot \frac{1}{\sqrt{\pi}} \cdot \exp\left\{-\frac{T}{2} X^2\right\} \rightarrow \frac{1}{\sqrt{\pi}} e^{-X^2}. \quad (37)$$

Результаты (35) и (37) для различных  $T$  приведены в табл. 3.

Таблица 1

$T$	$E_0^{(n)}$	$n$	$E_0^{(r, n)}$	Счетное время, с
5	0,50678	1	0,5077	1,8
6	0,50248	2	0,5073	3,1
7	0,50091	3	0,5010	5,5
8	0,50034	5	0,5002	9,7

Таблица 2

$T$	$ \psi_0^{(n)}(x) ^2$
5	$1,0345 \frac{1}{\sqrt{\pi}} e^{-0,9866}$
6	$1,0150 \frac{1}{\sqrt{\pi}} e^{-0,9951}$
7	$1,0064 \frac{1}{\sqrt{\pi}} e^{-0,9982}$
8	$1,0027 \frac{1}{\sqrt{\pi}} e^{-0,9993}$

Таблица 3

$T$	$E_0^{(n)}$	$ \psi_0^{(n)}(x) ^2$
5	0,49865	$0,99328 \frac{1}{\sqrt{\pi}} e^{-0,9866}$
6	0,49959	$0,99752 \frac{1}{\sqrt{\pi}} e^{-0,9951}$
7	0,49987	$0,99909 \frac{1}{\sqrt{\pi}} e^{-0,9982}$
8	0,49996	$0,99966 \frac{1}{\sqrt{\pi}} e^{-0,9993}$



При вычислении (25) с помощью (30)

$$E_0^{(r,n)} = -\frac{1}{T} \ln Z^{(n)}(T);$$

$$|y_0^{(r,n)}(X)|^2 = \frac{\tilde{Z}^{(n)}(X, T)}{Z^{(n)}(T)},$$

где

$$Z^{(n)}(T) = \int_{-\infty}^{\infty} \tilde{Z}^{(n)}(X, T) dX.$$

Так, в частности, при  $T=6$ ,  $r=2$  мы получаем

$$E_0^{(r,n)} = 0,5053.$$

Обратимся теперь к проблеме нахождения разности энергий основного и первого возбужденного состояний. Отметим прежде всего, что для гармонического осциллятора в разложении (7) отличен от нуля только матричный элемент  $\langle 0|X|1\rangle$  (см., напр., [23]), поэтому величина  $\frac{1}{T} \ln G(\tau)$  в (8) не зависит от  $\tau$ . Таким образом, для нахождения  $\Delta E$  может быть вычислена логарифмическая производная  $G(\tau)$  в любой точке  $\tau$ .

Так, например, справедливо равенство

$$\Delta E = E_1 - E_0 = -\frac{G'(0)}{G(0)}. \quad (38)$$

В работе [21] величина  $\Delta E$  вычислена на решетке с  $N=51$ ,  $a=0,5$ . При точном нахождении  $N$ -кратного интеграла результат составил

$$\Delta E^{(N)} = 0,9875;$$

путем моделирования  $N_E=100$  решеточных конфигураций было получено

$$\Delta E^{(N, N_E)} = 0,99.$$

Поскольку в [21] принято  $M=0,5; V(x)=x^2$ , результаты для удобства сравнения разделены на 2. Напомним, что теоретическое значение

$$\Delta E = 1.$$

В работе [6] в соответствии с (38)  $\Delta E$  получено для двух значений  $N$  с помощью  $N_R=100$  вычислений по 10000 траекторий каждое. Результатами являются следующие значения:

$$N=4 \quad \Delta E^{(N, N_R)} = 0,8801 \pm 0,202,$$

$$N=10 \quad \Delta E^{(N, N_R)} = 0,9331 \pm 0,129.$$

Счетное время на ЭВМ  $VoX 780$  составило  $100 \times 19$  с при  $N=4$  и  $100 \times 67$  с при  $N=10$ .

Мы вычисляем  $G(\tau)$  согласно (6), (18) для произвольного  $\tau \in [0, T]$ . Воспользовавшись формулой с весом (14), для конечного  $T$  после не-

которых преобразований получаем

$$G^{(r)}(\tau) = \frac{1}{2} \operatorname{cth} \frac{T}{2} \left( \operatorname{ch} \tau - \operatorname{th} \frac{T}{2} \operatorname{sh} \tau \right). \quad (39)$$

В пределе  $T \rightarrow \infty$  имеем

$$\lim_{T \rightarrow \infty} G^{(r)}(\tau) = G(\tau) = \frac{1}{2} e^{-\tau}. \quad (40)$$

Из (39) согласно (38) получаем точное значение  $\Delta E^{(r)}$ :

$$\Delta E^{(r)} = \operatorname{th} \frac{T}{2}.$$

Очевидно, что  $\Delta E^{(r)} \rightarrow \Delta E = 1$ . Значения  $\Delta E^{(r)}$  для различных  $T$  приведены в табл. 4.

Рассмотрим теперь приближенное нахождение  $G^{(r)}(\tau)$  с помощью составной формулы. В соответствии с (18)

$$G^{(r)}(\tau) = \frac{\int_{-\infty}^{\infty} X \cdot \tilde{Z}_1(X, T) dX}{\int_{-\infty}^{\infty} \tilde{Z}(X, T) dX}, \quad (41)$$

где

$$\tilde{Z}_1(X, T) = \frac{1}{\sqrt{2\pi T}} e^{-\frac{1}{2} X^2} \int_{0,0,0}^T \exp\left\{-\frac{T}{2} \int_0^t [\tau u^2(\tau) + 2X \sqrt{\tau} u(\tau)] d\tau\right\} \cdot \left[ \sqrt{\tau} u\left(\frac{t}{T}\right) + X \right] d u.$$

Подставляя в (12)

$$F[u] = \exp\left\{-\int_0^t [c_2 u^2(\tau) + c_1 u(\tau)] d\tau\right\} \cdot \left[ \sqrt{\tau} u\left(\frac{t}{T}\right) + X \right],$$

$c_1$  и  $c_2$  выделены в (26), после некоторых преобразований получаем при  $m=1$

$$\tilde{Z}_1(X, T) \approx \tilde{Z}_1^{(m)}(X, T) = \frac{1}{\sqrt{2\pi T}} \cdot e^{-\frac{1}{2} X^2} \cdot P_0 \cdot \prod_{K=1}^n I_K; \quad (42)$$

$$P_0 = \int_0^1 \exp\left\{\frac{T^2}{2} \left[ 2 \sum_{K=1}^n \frac{1}{K^2} \cos^2 K\pi v - v^2 + v - \frac{1}{3} \right]\right\} v$$

$$\cdot \left[ \operatorname{ch} \left[ X T \sqrt{T} \left[ -\frac{1}{2} + v - 2 \sum_{K=1}^n \frac{1}{K^2} \cos K\pi v \cdot (\cos K\pi - 1) \right] \right] X \left[ 1 + 2 \sum_{K=1}^n \frac{\sin K\pi v \cdot (\cos K\pi - 1)}{K^2 (\pi)^2 \left( \frac{1}{T^2} + \frac{1}{K^2} \right)} \right] + \right.$$

$$\left. + \operatorname{sh} \left[ X T \sqrt{T} \left[ -\frac{1}{2} + v - 2 \sum_{K=1}^n \frac{1}{K^2} \cos K\pi v \cdot (\cos K\pi - 1) \right] \right] \cdot \sqrt{T} \cdot \left[ \beta\left(v, \frac{T}{2}\right) - 2 \sum_{K=1}^n \frac{\sin K\pi v}{K\pi} \cos K\pi v \right] dv \right\}$$

$$\beta(v, t) = \begin{cases} -t, & t \leq |v|; \\ (t-t), & t > |v|. \end{cases}$$

Величины  $I_k$  определяются согласно (30). Значения  $G^{(\tau, n)}(\tau)$ , вычисленные по формуле

$$G^{(\tau, n)}(\tau) = \frac{\int_{-\infty}^{\infty} X \tilde{Z}_1^{(n)}(X, T) dX}{\int_{-\infty}^{\infty} \tilde{Z}(X, T) dX}, \quad (43)$$

где  $\tilde{Z}^{(n)}(X, T)$  определяется в (30), при  $T=6$ ,  $n=2$  показаны крестиками на рис. 2 в логарифмическом масштабе. Вычисление интегралов в (43), (30), (42) осуществлялось с относительной погрешностью до  $10^{-5}$ .

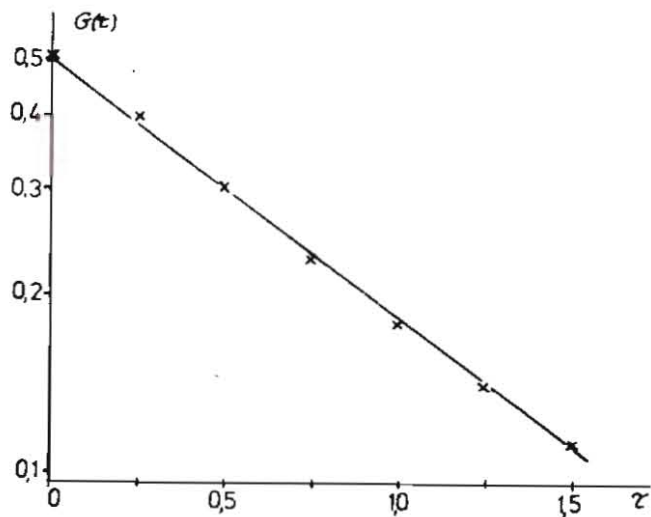


Рис. 2. Зависимость от  $\tau$  пропагатора системы  $G(\tau) = \langle 0 | \chi(0) \chi(\tau) | 0 \rangle$ . Сплошной линией показано теоретическое значение.

Счетное время на ЭВМ СДС-6500 составило порядка 10 с на точку  $\tau$ . Очевидно, что имеет смысл рассматривать только случай  $\tau \ll \frac{1}{\lambda}$ . Сплошной линией (прямой) показана теоретическая зависимость  $G(\tau)$ , определяемая (40). Логарифмическая производная  $G(\tau)$  соответствует тангенсу угла наклона прямой на рис. 2. Проведя по указанным точкам прямую по методу наименьших квадратов, мы получили

$$G^{(\tau, n)}(0) = E_0^{(\tau, n)} = 0,5053, \\ \Delta E^{(\tau, n)} = 1,0198.$$

В работе [22] особо рассмотрено вычисление континуального интеграла  $Z(0, 0, \tau) = \tilde{Z}(0, \tau)$  с абсолютной нормировкой. На рис. 3 точками показаны значения, полученные в [22] методом Монте-Карло на решетке с  $N=25$ .

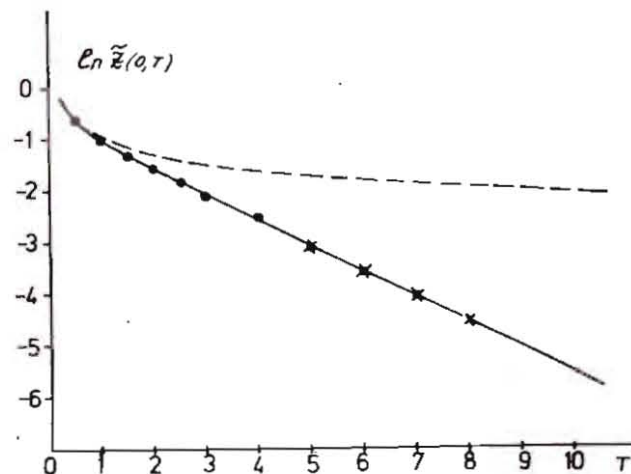


Рис. 3. Континуальный интеграл  $\tilde{Z}(0, \tau)$  для гармонического осциллятора. Пунктиром показана функция Грина свободной частицы.

Сплошная линия представляет собой теоретический результат:

$$\tilde{Z}(0, \tau) = \frac{1}{\sqrt{2\pi \sinh \tau}}, \quad (44)$$

пунктиром показана функция Грина свободной частицы:

$$\tilde{Z}_0(\tau) = \frac{1}{\sqrt{2\pi \tau}}. \quad (45)$$

В нашем подходе результаты (44), (45) получаются автоматически по формуле с весом из (27) при  $X=0$  и из (17) при  $V(X)=0$  соответственно. Значения  $\tilde{Z}^{(n)}(0, \tau)$ , полученные по составной формуле согласно (30) при  $T$  и  $n$ , соответствующих табл. I, показаны на рис. 3 крестиками. Счетное время составило  $< 0,1$  с на точку  $T$  на ЭВМ СДС-6500. Таким образом, путем интегрирования по условной мере Винера с использованием приближенных формул [18-20] могут быть вычислены значения рассмотренных величин с такой же, а в некоторых случаях и более высокой точностью, что и в работах [6, 21, 22], но при существенно меньшей кратности интегралов. Это позволяет использовать для их нахождения детерминированные методы и приводит к значительной экономии счетного времени и памяти ЭВМ.

Таблица 4

$\Gamma$	$\Delta E^{(\Gamma)}$
5	0,9866
6	0,9951
7	0,9982
8	0,9993

В заключение авторы выражают благодарность за полезные обсуждения В.П.Гердту, И.Л.Боголюбскому и Н.В.Махалдиани.

## ЛИТЕРАТУРА

1. Feynman R.P. Rev.Mod.Phys., 1948, v.20, №2, p.367.
2. Боголюбов Н.Н., Ширков Д.В. Введение в теорию квантованных полей. "Наука", М., 1984, гл. УШ.
3. Ишиксон К., Эдбер Ж.-Б. Квантовая теория поля, т.2. "Мир", М., 1984.
4. Wilson K. Phys.Rev., 1974, D10, p.2445.
5. Kogut J.B. ILL-(TH)-82-46, Urbana, 1982.
6. Cahill K., Reeder R. Phys.Lett., 1984, 136B, p.77.
7. Махалдиани Н.В., Миллер-Пройскер М., Шмаков С.Ю. ОИЯИ, P2-84-302, Дубна, 1984.
8. Фейнман Р., Хибс А. Квантовая механика и интегралы по траекториям. "Мир", М., 1968.
9. Экснер П. ЭЧАЯ, 1984, т.15, вып.1, с.121.
10. Wiener N. Journ.Math.and Phys., 1923, 2, p.131; Proc.London Math.Soc., 1924, v.22, №6, p.454.
11. Гельфанд И.М., Яглом А.М. УМН, 1956, т.II, № I, с.77.
12. Янович Л.А. Приближенное вычисление континуальных интегралов по гауссовым мерам. "Наука и техника", Минск, 1976.
13. Кац М. Вероятность и смежные вопросы в физике. "Мир", М., 1965.
14. Далецкий Ю.Л., Фомин С.В. Меры и дифференциальные уравнения в бесконечномерных пространствах. "Наука", М., 1983.
15. Егоров А.Д., Соболевский П.И., Янович Л.А. Приближенные методы вычисления континуальных интегралов. "Наука и техника", Минск, 1985.
16. Глимм Дж., Джаффе А. Математические методы квантовой физики. Подход с использованием функциональных интегралов. "Мир", М., 1984.

17. Daubechies I., Klauder J.R. J.Math.Phys., 1982, №23, p.1806; Measures for More Quadratic Path Integrals, Bell Laboratories, Murray Hill, 1983; Quantum Mechanical Path Integrals with Wiener Measures for All Polynomial Hamiltonians.II. AT&T Bell Laboratories, Murray Hill, 1985; Klauder J.R., Daubechies I. Phys.Rev.Lett., 1982, №48, p.117.
18. Хидков Е.П., Лобанов Ю.Ю., Сидорова О.В. ОИЯИ, PII-83-867, Дубна, 1983.
19. Хидков Е.П., Лобанов Ю.Ю., Сидорова О.В. В сб.: Краткие сообщения ОИЯИ, № 4-84, Дубна, 1984, с. 28.
20. Хидков Е.П., Лобанов Ю.Ю., Сидорова О.В. ОИЯИ, PII-84-775, Дубна, 1984.
21. Creutz M., Freedman B. Annals of Phys., 1981, №132, p.427.
22. Shuryak E.V., Zhirov O.V. Nucl.Phys., 1984, B242, №2, p.393; Institute of Nuclear Physics, preprint 83-47, Novosibirsk, 1983.
23. Ландау Л.Д., Лифшиц Е.М. Квантовая механика. Физматгиз, М., 1963.
24. Шифф Л. Квантовая механика. ИИЛ, М., 1957.

Рукопись поступила в издательский отдел  
24 октября 1985 года.